

(HUANJING KEXUE)

# **ENVIRONMENTAL SCIENCE**

第38卷 第3期

Vol.38 No.3

2017

中国科学院生态环境研究中心 主办

科学出版社出版



## ENVIRONMENTAL SCIENCE

第38卷 第3期 2017年3月15日

### 目 次

我国人为源挥发性有机物反应性排放清单 梁小明,张嘉妮,陈小方,石田立,孙西勃,范丽雅,叶代启(845)
上海城郊地区冬季霾污染事件反应性 VOCs 物种特征
京津冀地区主要排放源减排对 PM, 5污染改善贡献评估
北京冬季 PM <sub>2</sub> , 中金属元素浓度特征和来源分析 乔宝文, 刘子锐, 胡波, 刘景云, 逢妮妮, 吴方堃, 徐仲均, 王跃思(876)
2015年石家庄市采暖期一次重污染过程细颗粒物在线来源解析 路娜,李治国,周静博,赵鑫,杨丽丽,冯媛,靳伟(884)
利用 SPAMS 研究南宁市四季细颗粒物的化学成分及污染来源
南半球海洋大气气溶胶单颗粒的理化特性分析
喷泉产生的细菌气溶胶空间分布特性
大物流滤楼净化今硫混入座写
工物间添加证 化自则 (红白灰) ( ) ( ) ( ) ( ) ( ) ( ) ( ) ( ) ( ) (
西安城市不同功能区街道灰尘磁学特征及环境污染分析
城乡交错带典型溪流沟渠沉积物氮污染特征及硝化-反硝化潜力 秦如彬,李如忠,高苏蒂,张瑞钢(936)
三峡库区小江支流沉积物硝化反硝化速率在蓄水期和泄水期的特征 王静,刘洪杰,雷禹,徐晶,宋立岩,李勇(946)
隔河岩水库二氧化碳通量时空变化及影响因素
白洋淀多环芳烃与有机氯农药季节性污染特征及来源分析 王乙震,张俊,周绪申,孔凡青,徐铭霞(964)
唐山陡河水库沉积物汞的分布、来源及污染评价 … 吴婷婷,王明猛,陈旭锋,刘文利,李太山,闫海鱼,何天容,李仲根(979)
三岐库区消袭带优势草木植物海水后走的释放特征
三峡库区消落带优势草本植物淹水后汞的释放特征 邓晗,张翔,张成,王永敏,王定勇(987)电镀厂周边地表水中重金属分布特征及健康风险评价 余葱葱,赵委托,高小峰,程胜高,黄庭,尹伊梦,赵珍丽(993)
电放/ 用边地农小工里亚周刀中付进及健康风险厅讲 """" 示忽忽,赵安礼,同小毕,住庭间,更戾,了厅夕,赵少卿(793)
九龙江表层沉积物重金属赋存形态及生态风险 ····································
厦门筼筜湖表层沉枳物金属元素赋存形态及污染评价 杨秋丽, 于瑞莲, 胡恭任, 林承奇, 韩璐(1010)
龙口市污水灌溉区农田重金属来源、空间分布及污染评价 李春芳,王菲,曹文涛,潘健,吕建树,吴泉源(1018)
碳化稻壳-铁锰氧化菌耦合净化严寒村镇高铁锰地下水效能与机制 … 孙楠,谌燕丽,张颖,鲁岩,宋秋霞,李春艳,姜昭(1028)
高藻水臭氧预氧化过程有机物转化及消毒副产物生成势 张赛, 胡学斌, 古励, 李莉, 郭显强(1038)
预处理对短流程超滤工艺不可逆膜污染影响的中试试验 … 杨海燕,邢加建,王灿,孙国胜,赵焱,梁恒,徐叶琴,李圭白(1046)
$Cu-Al_2O_3$ 中骨架铜类芬顿催化去除水中有机污染物 ····································
Cu-ALO3 [1] 有术例关定映画化台体小平行为117米物
过硫酸钾氧化去除 Cu(CN)3-中的氰污染物 王云飞,李一兵,王彦斌,齐璠静,赵凯,田世超,郭涛,关伟,赵旭(1061)
微生物燃料电池强化去除农药 2,4-二氯苯氧乙酸及同步产电性能 全向春,全燕苹,肖竹天(1067)
桉树遗态结构 HAP/C 复合材料对水中Cu(Ⅱ)的吸附特征 ············· 李超,朱宗强,曹爽,朱义年,谭笑,丁慧(1074)
基于 A <sup>2</sup> /O 处理工艺的生活污水的成组生物毒性评价 ····································
污水氮浓度对粉绿狐尾藻去氮能力的影响
全海水盐度抑制下厌氧氨氧化工艺的恢复特性
知饿对磕自美反硝化反应器生物群族结构的影响 李芙芙 前秦红 李海波 青蔹芙 马方尾(1102)
处域内则因介及的化及应加工物研留和特别多型。
医胚周切风乳氨氧化工乙 ————————————————————————————————————
一种 CANON 工艺处理低致激发不的新快式
侧流鳞回收对低溶解氧 EBPR 系统性能的影响 ————————————————————————————————————
<b>  大氧氨氧化污泥群体感应信号分于检测及影响研究                                    </b>
有机负荷对醋糟厌氧消化系统启动的影响 戴晓虎,于春晓,李宁,董滨,戴翎翎(1144)
过氧化钙预处理对活性污泥脱水性能的影响机制 白润荚,陈湛,张伟军,王东升(1151)
不同丁况蚯蚓人丁湿地表层污泥外理效果
个氟辛酸对于肠杆菌的氧化肺泊和腊根佐 杨蒙 李玮 叶镍铝 龙蛇 奏化眼(1167)
工业工程的人员们国际工程的工程的工程的工程的工程的工程的工程的工程的工程的工程的工程的工程的工程的工
微生物燃料电池强化去除农药 2,4-二氯苯氧乙酸及同步产电性能 全向春,全燕苹,肖竹天(1067) 桉树遗态结构 HAP/C 复合材料对水中Cu(II)的吸附特征 李超,朱宗强,曹爽,朱义年,谭笑,丁慧(1074) 基于 A²/O 处理工艺的生活污水的成组生物毒性评价 张秋亚,马晓妍,王晓昌,游猛(1084) 污水氮浓度对粉绿狐尾藻去氮能力的影响 马永飞,杨小珍,赵小虎,胡承孝,谭启玲,孙学成,吴金水(1093) 全海水盐度抑制下厌氧氨氧化工艺的恢复特性 齐泮晴,于德爽,李津,管勇杰,魏思佳(1102) 饥饿对硫自养反硝化反应器生物群落结构的影响 李芳芳,施春红,李海波,袁蓉芳,马方曙(1109) 快速启动厌氧氨氧化工艺 周刚,徐乐中,沈耀良,吴鹏,张婷,程朝阳(1116) 一种 CANON 工艺处理低氨氮废水的新模式 完颜德卿,袁怡,李祥,毕贞(1122) 侧流磷回收对低溶解氧 EBPR 系统性能的影响 马娟,宋璐,俞小军,孙雷军,孙洪伟(1130) 厌氧氨氧化污泥群体感应信号分子检测及影响研究 陈舒涵,李安婕,王越兴,吴玲娟(1137) 有机负荷对醋糟厌氧消化系统启动的影响
皿吸虫病疫区
李昆,赵高峰,周怀东,张盼伟,刘巧娜,赵晓辉,李东佼,任敏,赵丹丹(1182)
纳米沸石对大白菜生长、抗氧化酶活性及镉形态、含量的影响
秦余丽,熊仕娟,徐卫红,赵婉伊,王卫中,陈永勤,迟荪琳,陈序根,张进忠,熊治庭,王正银,谢德体(1189)
利用 in vitro 方法研究不同铁矿对土壤砷生物可给性的影响
·····································
不锈钢电极对重金属污染土壤的强化电动修复及电极腐蚀结晶现象与机制 温东东,付融冰,张卫,顾莹莹(1209)
施用无害化污泥影响土壤碳库组分和碳库管理指数的演变 刘晓,黄林,郭康莉,张雪凌,杨俊诚,姜慧敏,张建峰(1218)
施氮和水分管理对光合碳在土壤-水稻系统间分配的量化研究
模拟酸雨对次生林土壤呼吸及异养呼吸的影响 ····································
土壤硝化和反硝化微生物群落及活性对大气 CO <sub>2</sub> 浓度和温度升高的响应 刘远,王光利,李恋卿,潘根兴(1245)
岩性对喀斯特灌丛土壤固氮菌与丛枝菌根真菌群落结构及丰度的影响 梁月明, 苏以荣, 何寻阳, 陈香碧(1253)
板栗产区有机堆肥产物磷形态特征及其对叶片磷含量的影响 宋影,郭素娟,张丽,孙慧娟,谢明明,武燕奇,王静(1262)
酸性物质对猪粪秸秆堆肥过程中氮素转化的影响
《环境科学》征稿简则(1092) 《环境科学》征订启事(1158) 信息(1166,1261,1271)
《小沙尔日子》此词问以为( 1072 )  《四沙尔日子》此时,但于( 1150 )

## 电镀厂周边地表水中重金属分布特征及健康风险评价

余葱葱¹,赵委托²\*,高小峰³,程胜高¹\*,黄庭¹,尹伊梦¹,赵珍丽¹

(1. 中国地质大学(武汉) 环境学院,武汉 430074; 2. 核工业二○三研究所环境工程与评价中心,咸阳 712000; 3. 东京大学大学院工学系研究科,东京 113-8656)

摘要:选取东莞市麻涌镇、沙田镇、虎门镇、长安镇和大岭山镇为研究区域,对区域电镀厂 周边 30 个地表水样中 8 种重金属(包括 Cd、Cr、Cu、Ni、Pb、Zn 和类重金属 As、Hg)进行测定,运用多元统计分析 法和人体健康风险评价模型研究地表水中重金属分布特征和健康风险.结果表明,地表水 中 Cr、Pb 最大浓度和 Hg 平均浓度超过《地表水环境质量》(GB 3838-2002) Ⅲ类水质标准,Cr、Cu、Hg、Ni、Zn 和 Pb 含量均呈现出雨季高于旱季.多元统计分析表明,Cd、Cr、Cu、Ni 和 Zn 主要来源于周边电镀企业污染,Pb 和 Hg 受交通污染源影响较大,As 与自然源有密切关系. 地表水体健康风险评价 结果表明,重金属污染 对儿童威胁大,经饮水途径暴露的健康风险比皮肤接触途径大 2~3 个数量级. 此外,Cr 和 As 致癌风险高于最大可接受风险水平(5.0×10<sup>-5</sup> a<sup>-1</sup>);非致癌性重金属健康风险大小呈现出 Pb > Ni > Cu > Hg > Zn,风险水平在 10<sup>-10</sup>~10<sup>-7</sup> a<sup>-1</sup>,低于最大可接受风险水平(2~5 个数量级.

关键词:电镀厂; 地表水; 重金属; 多元统计分析; 健康风险评价

中图分类号: X522; X820.4 文献标识码: A 文章编号: 0250-3301(2017)03-0993-09 DOI: 10.13227/j. hjkx. 201607159

## Distribution Characteristics and Health Risk Assessment of Heavy Metals in Surface Water Around Electroplating Factories

YU Cong-cong<sup>1</sup>, ZHAO Wei-tuo<sup>2</sup>\*, GAO Xiao-feng<sup>3</sup>, CHENG Sheng-gao<sup>1</sup>\*, HUANG Ting<sup>1</sup>, YIN Yi-meng<sup>1</sup>, ZHAO Zhen-li<sup>1</sup>

(1. School of Environmental Studies, China University of Geosciences, Wuhan 430074, China; 2. The Center of Environmental Engineering and Assessment, No. 203 Research Institute of Nuclear Industry, Xianyang 712000, China; 3. Graduate School of Engineering, University of Tokyo, Tokyo 113-8656, Japan)

Abstract: To investigate the distribution characteristics and the human health risks of heavy metals in surface water samples, 30 samples were collected around electroplating factories of Machong, Shatian, Humen, Changan and Dalingshan towns in Dongguan city, 8 heavy metals (As, Cd, Cr, Cu, Hg, Ni, Pb and Zn) contents were measured and analyzed by using multivariate statistical analysis method and human health risk assessment model. The results showed that the maximum concentrations of Cr, Pb and the average concentration of Hg exceeded Environmental Quality Standards for Surface Water (GB 3838-2002, Grade  $\mathbb{H}$ ), the concentrations of Cr, Cu, Hg, Ni, Zn and Pb during rainy season were all higher than that those during dry season. Multivariate statistical analysis indicated that Cd, Cr, Cu, Ni and Zn mainly originated from the contaminated electroplating factories, Pb and Hg were mainly affected by the traffic sources, and As was significantly correlated with natural sources. Health risk assessment result of surface water indicated that heavy metal pollution would lead to high health risks especially for children, and the health risks of heavy metals through drinking pathway were 2-3 orders of magnitude higher than the values caused by dermal contact pathway. Moreover, carcinogenic risks caused by Cr and As were higher than the maximum allowance levels ( $5 \times 10^{-5}$  a<sup>-1</sup>), and non-carcinogenic risks of the heavy metals ( $10^{-10}$ - $10^{-7}$  a<sup>-1</sup>) decreased in the order of Pb > Ni > Cu > Hg > Zn, which were 4-5 orders of magnitude lower than the maximum allowance levels.

Key words: electroplating factories; surface water; heavy metals; multivariate statistical analysis; health risk assessment

东莞市近几十年来凭借地处珠江三角洲"黄金地段"区位优势,迅速实现由农业社会向工业社会转变,成为全球重要工业制造基地之一[1].电镀厂是东莞市常见企业,日常生产过程中产生大量含有重金属废水、固体废物和废气[2],重金属具有持久性、隐蔽性、不可降解性等特点,排放到环境后不断迁移、转化最终进入并累积于水体、空气和土壤中,直接或间接地危害着人体健康[3,4]. 地表水体中微量重金属人体暴露途径主

要包括饮水、皮肤接触等,低剂量、长期暴露会对人体造成伤害<sup>[5]</sup>,因此,研究电镀厂周边地表水环境中重金属分布特征,评价潜在人体健康风

收稿日期: 2016-07-25; 修订日期: 2016-10-18

基金项目: 中央 高 校 新 青 年 教 师 科 研 启 动 基 金 项 目 (CUGW140908); 国家自然科学基金项目(41072023,

41402312)

作者简介: 余葱葱(1992~),女,硕士研究生,主要研究方向为环境 风险评价与管理,E-mail:cugycc2015@163.com

\* 通信作者,E-mail; weituo2006@126.com; chengsg@cug.edu.cn

险具有重要意义.目前,王若师等<sup>[6]</sup>、李祥平等<sup>[7]</sup>、Achary等<sup>[8]</sup>采用美国环保署(USEPA)推荐的健康风险评价模型分别对东江流域、广州市主要饮用水源地、孟加拉湾西南海岸等不同地表水体中重金属污染进行了初步健康风险评价,在健康风险评价模型的基础上,周荣喜等<sup>[9]</sup>引入多属性决策理论,陈耀宁等<sup>[10]</sup>构建了三角随机模型,祝慧娜等<sup>[11]</sup>构建了基于区间数的健康风险模糊综合评价模型对区域水环境进行了更深入的健康风险研究.

近年来,电镀厂周边环境污染问题越来越受到重视,已有研究者对电镀厂附近水体沉积物<sup>[12]</sup>、空气<sup>[13]</sup>、土壤<sup>[13~16]</sup>及农作物<sup>[16]</sup>中重金属含量、分布及潜在健康风险进行了较多研究,但是关于电镀厂排放重金属对周边地表水环境影响研究较少.本研究通过调查东莞市5镇(麻涌镇、沙田镇、虎门镇、长安镇和大岭山镇)电镀厂周边地表水中8种重金属(包括Cd、Cr、Cu、Ni、Pb、Zn 和类重金属As、Hg)含量和分布特征,采用USEPA推荐的健康风险评价模型评估地表水重金属潜在健康风险水平,以期为区域地表水重金属污染水质目标管理和人群健康保障提供依据.

#### 1 材料与方法

#### 1.1 研究区概况

东莞市位于广东省中南部、珠江口东岸,地势

东南高、西北低,地貌以丘陵台地、冲积平原为主<sup>[17]</sup>.主要河流有东江、石马河和寒溪河等,其中东江自东向西贯穿北界,通过大盛、麻涌、漳澎和泗盛围等4个口门汇入狮子洋,寒溪河和石马河自东南往西北注入东江.自然土壤主要为砂页岩和花岗岩发育的赤红壤及山地地区的黄壤.研究区企业分布密集,电镀厂数量多达50余家,企业周边分布着麻涌河、狮子洋、金河涌、四甲架河、茅洲河、东引河和黄沙河等,区域雨季为4~9月,其中4~6月为前汛期,7~9月为后汛期.

#### 1.2 样品采集与处理

研究 30 个采样点于电镀厂排污口上下游约500 m、河道平直和水流平缓处(3~29 号采样点分别位于同一排污口上、下游),2015 年 1 月(冬季、旱季),2015 年 4 月(春季、雨季),2015 年 7 月(夏季、雨季)和2015 年 11 月(秋季、旱季)采集地表水样品,地理位置和采样点见图 1. 样品采集后立即用 0.45 μm 滤膜过滤,向水样中加 HNO3 酸化使其pH≤2,运回实验室置于冰箱中保存(4℃,避光).采用 AFS-230E 双道原子荧光光度计(北京海光仪器公司)和 Tekran2500CVAFS(加拿大)分别检测水样中 As 和 Hg 含量,采用 ICP-MS(7500a,美国Agilent公司)检测水样中 Cd、Cr、Cu、Ni、Pb 和 Zn含量,每个水样设置 2 个空白样和 3 个平行样.经检验,待测元素相对误差(RE)均小于±20%,相对标准偏差(RSD)均低于 15%,符合 USEPA 要求



图 1 研究区地理位置及采样点示意

Fig. 1 Location of the study area and sampling sites

Ph

Zn

0.0014

0.3

(RSD < 30%).

#### 1.3 研究方法

#### 1.3.1 饮水途径健康风险评价模型

$$R_i^c = [1 - \exp(-D_i \cdot SF)]/76.49$$
 (1)

$$R_i^{\rm n} = (D_i/{\rm RfD}) \times 10^{-6}/76.49$$
 (2)

$$D_i = IR \times c_i / BW \tag{3}$$

式中, $R_i^c$ 为致癌物质 i 经饮水途径所致平均个人年健康风险, $a^{-1}$ ; SF 为致癌物质经饮水途径摄入的致癌强度系数, $kg \cdot d \cdot mg^{-1}$ ;  $R_i^n$  为非致癌物质 i 经饮水途径所致平均个人年健康风险, $a^{-1}$ ; RfD 为非致癌物质经饮水途径日均摄入的参考剂量, $kg \cdot d \cdot mg^{-1}$ ;  $D_i$  为重金属 i 经饮水途径的单位体重日均暴露剂量, $kg \cdot d \cdot mg^{-1}$ ; 76. 49 为广东省人均期望寿命,a; IR 为日平均饮水量, $L \cdot d^{-1}$ ;  $c_i$  为重金属 i 的质量浓度, $mg \cdot L^{-1}$ ; BW 为人均体重,kg.

#### 1.3.2 皮肤接触途径健康风险评价模型

$$R_d^p = [1 - \exp(-D_d \times SF)]/76.49$$
 (4)

$$R_d^{\rm f} = (D_d \times 10^{-6}/{\rm RfD})/76.49$$
 (5)

 $D_d = I_d \times A_{sd} \times FE \times EF \times ED/(BW \times AT \times f)$ 

(6)

$$I_d = 2 \times 10^{-3} \times k \times c_d \times \sqrt{\frac{6 \times \tau \times \text{TE}}{\pi}}$$
 (7)

式中, $R_d^n$ 为致癌物质 d 经皮肤接触途径所致平均个人年健康风险, $a^{-1}$ ;  $R_d^r$  为非致癌物质 d 经皮肤接触途径所致平均个人年健康风险, $a^{-1}$ ;  $D_d$  为重金属 d 经皮 肤 接 触 途 径 的 单 位 体 重 日 均 暴 露 剂 量,kg·d·mg<sup>-1</sup>;  $I_d$  为每次洗澡单位面积对污染物 d 的 吸附量,mg·(cm²·次)<sup>-1</sup>;  $A_{sd}$  为人体表面积,cm²; FE 为洗澡频率,次·d<sup>-1</sup>; EF 为暴露频率,d·a<sup>-1</sup>; ED 为暴露延时,a; AT 为平均暴露时间,a; f 为肠 道吸附比率; k 为皮肤吸附参数,cm·h<sup>-1</sup>;  $c_d$  为重金属 d 的质量浓度,mg·L<sup>-1</sup>;  $\tau$  为延滞时间,h; TE 为 洗澡时间,h.

根据世界卫生组织(WHO)和国际癌症研究机构(IARC)对化学物质致癌性全面评价,本研究测定8种重金属中,致癌性重金属有As、Cd、Cr,非致癌性重金属有Cu、Hg、Ni、Pb、Zn,毒理学特性参数和暴露参数见表1和表2<sup>[18-21]</sup>.

#### 1.3.3 水环境健康风险评价总体模型

假定每种化学物质对人体健康危害毒性作用呈相加关系,而不是协同或拮抗关系,水环境总体健康危害风险可表示为:

$$R_{z} = R_{i}^{c} + R_{i}^{n} + R_{d}^{p} + R_{d}^{f} \tag{8}$$

#### 表 1 重金属毒理学特性参数

Toxicological characteristic parameters of the heavy metals Table 1 毒性参考剂量 RfD 致癌强度系数 SF 元素 /kg•d•mg<sup>-1</sup> /kg·d·mg-As15  $\operatorname{Cd}$ 6.1  $\operatorname{Cr}$ 41 Cu 0.005 0.0003 Hg Ni 0.02

表 2 重金属暴露参数

Table 2 Exposure parameters of the heavy metals

参数	成人		儿童
日平均饮水量 IR/L·d <sup>-1</sup>	1.7		1.0
人均体重 BW/kg	57. 0		22.9
人体表面积 $A_{\rm sd}/{ m cm}^2$	16 000		6 660
洗澡频率 FE/次⋅d <sup>-1</sup>	0. 3		0.3
肠道吸附比率 $f$		1	
皮肤吸附参数 k/cm·h <sup>-1</sup>		0.001	
延滞时间 τ/h		1	
洗澡时间 TE/h		0.56	
参数	非致癌物		致癌物
暴露频率 EF/d·a -1	350		350
暴露延时 ED/a	35		70
平均暴露时间 AT/a	35		70

#### 2 结果与讨论

#### 2.1 电镀厂周边地表水重金属含量及分布特征

与国内外其它区域地表水相比,研究区地表水Cr和Ni含量普遍高于其他区域,其中Cr含量是巴西Pardo河的81.12倍,Ni含量是西班牙Catalan河的58.06倍.Cu和Hg含量分别低于土耳其Tigris

河和西班牙 Catalan 河,但高于其他区域,其中 Cu 含量分别超过西班牙 Catalan 河和巴西 Pardo 河达113.27 和51.13 倍. As、Cd、Pb 和 Zn 含量均高于西班牙 Catalan 河、巴西 Pardo 河和土耳其 Tigris河,介于澜沧江重金属含量之间,其中 Pb 含量是土耳其 Tigris 河的 79.94 倍, Zn 含量是西班牙 Catalan

河的 85.22 倍. 与苏南某电镀厂下游地表水和广西某电镀厂下游地表水重金属平均含量相比,研究区地表水 Zn 含量是苏南某电镀厂下游地表水的 2.75 倍,Cd 和 Pb 含量低于广西某电镀厂下游地表水,Cr、Cu 和 Ni 含量远低于苏南某电镀厂下游地表水和广西某电镀厂下游地表水.

表 3 水质指标的统计描述及环境标准/ $\mu g \cdot L^{-1}$ 

Table 3 Statistical description of water quality variables and the environmental guideline of national quality standards for surface waters/µg·L<sup>-1</sup>

Ī	亡素	As	Cd	Cr	Cu	Hg	Ni	Pb	Zn
	平均值	8. 71	1. 57	40. 56	147. 25	0.350	156. 76	27. 18	161. 91
	最大值	12. 20	2. 38	194. 12	902.60	0.750	961.63	51.62	823. 83
全年含量	最小值	5. 12	0.66	7. 14	8. 33	0. 100	7. 53	11.36	15. 61
	标准差	1.93	0.46	42. 87	228. 85	0. 187	230. 03	10.16	201. 91
	标准限值1)	50.00	5.00	50.00	1 000. 00	0. 10	_	50.00	1 000. 00
	春季(旱季)	8.67	1.29	63.71	203.41	0.486	221.10	29.64	280.07
季均浓度	夏季(雨季)	8.03	1.31	49.88	175.23	0.401	194.46	30.50	203.28
子均似反	秋季(雨季)	8.61	1.58	24.70	72.12	0.306	76.80	23.28	77.61
	冬季(旱季)	9.51	2.12	23.97	138.25	0.185	134.69	25.32	86.69
澜沧江[23]		5. 3 ~ 21	0 ~ 3. 9	_	0 ~ 80	0 ~ 0. 2	_	11 ~ 32	0 ~ 706
长江[24]		13. 20	4. 70	20. 90	10. 70	_	13. 40	55. 10	9.40
湘江[25]		12. 24	1. 34	6.61	20. 33	0.04	_	2. 29	84. 57
Catalan 河,西班	[牙 <sup>[26]</sup>	2.90	1. 20	2.40	1.30	0.80	2. 70	2.20	1.90
Pardo 河, 巴西 <sup>[27]</sup>		1.93	0.06	0.50	2. 88	_	6. 33	4. 10	13. 14
Bilina 河,捷克 <sup>[28]</sup>		14. 13	0. 21	_	_	0.10	_	7.92	35. 26
Tigris 河, 土耳其 <sup>[29]</sup>		2.35	1. 37	< 5	165	_	72. 0	0.34	37
苏南某电镀厂下游地表水[30]		_	_	74. 88	384.06	_	853. 2	_	58.8
广西某电镀厂门	下游地表水 <sup>[16]</sup>	_	1.89	1 277. 14	1 954. 29	_	2 361. 43	29.43	_

<sup>1)</sup> 地表水环境质量Ⅲ类标准(GB 3838-2002)

由地表水重金属在采样点堆积情况(图2)和重 金属年均浓度空间分布特征(图3)可知,重金属含 量变化范围为 88.98 μg·L<sup>-1</sup> (14 号采样点)~ 2769.68 μg·L<sup>-1</sup> (16 号采样点), 平均值 544.29 μg·L<sup>-1</sup>. Cu、Ni、Zn 含量变化幅度较大, 贡献率远 高于其他元素,其中贡献率最大采样点分别为11、 24、30号,平均贡献率最大是 Zn(31.76%),其次为 Ni(23.40%)和Cu(20.40%).5个镇中,地表水重 金属年均浓度大小顺序呈现出虎门镇(1084.12  $\mu g \cdot L^{-1}$ ) > 大岭山镇(934.82  $\mu g \cdot L^{-1}$ ) > 沙田镇 (503. 33 μg·L<sup>-1</sup>) > 长安镇(355. 02 μg·L<sup>-1</sup>) > 麻 涌镇(107.30 μg·L<sup>-1</sup>),Cr、Cu、Hg、Ni、Pb 含量分 布规律比较相似,高含量区主要位于虎门镇和沙田 镇,以15、16号采样点处最为突出,而As、Cd、Zn 年均浓度分别在沙田镇、长安镇、大岭山镇最高, 最大浓度值分别出现在25、28、30号采样点.

将排污口上、下游采样点重金属浓度进行对比,排污口上游9、11、22、24号采样点和下游10、12、23、25号采样点重金属浓度相差较大,下游采

样点重金属浓度分别是上游的 2.51、1.24、3.29、1.40 倍,主要是下游采样点 Cr、Cu、Hg、Ni、Zn 含量高于上游,其中 10 号采样点 Cr、Cu、Ni 含量分别是 9 号采样点的 2.62、5.98、7.95 倍,12、25 号采样点 Hg 含量分别是 11、24 号采样点的 3.84、3.70 倍,23 号采样点 Zn 含量是 22 号采样点的 10.87 倍.由此可见,电镀厂建设对周边地表水中重金属的分布产生了一定影响.

#### 2.2 地表水重金属的多元统计分析

#### 2.2.1 相关性分析

相关性分析表明(表4),As 与其他元素之间无显著相关性;Cd、Cr、Cu、Ni和 Zn 之间呈极显著相关,其中 Cu和 Ni相关系数最高(0.980),说明 Cu和 Ni关系最为密切,含量受彼此影响较大;Hg 仅与 Pb 之间存在显著相关性,而 Pb 还与 Cr、Cu、Ni之间存在极显著相关性。由此判断,Cd、Cr、Cu、Ni和 Zn 具有一定同源性,Pb 一部分来源可能与 Hg 相同,一部分来源可能与 Cr、Cu、Ni相同,As来源与其他元素不同.

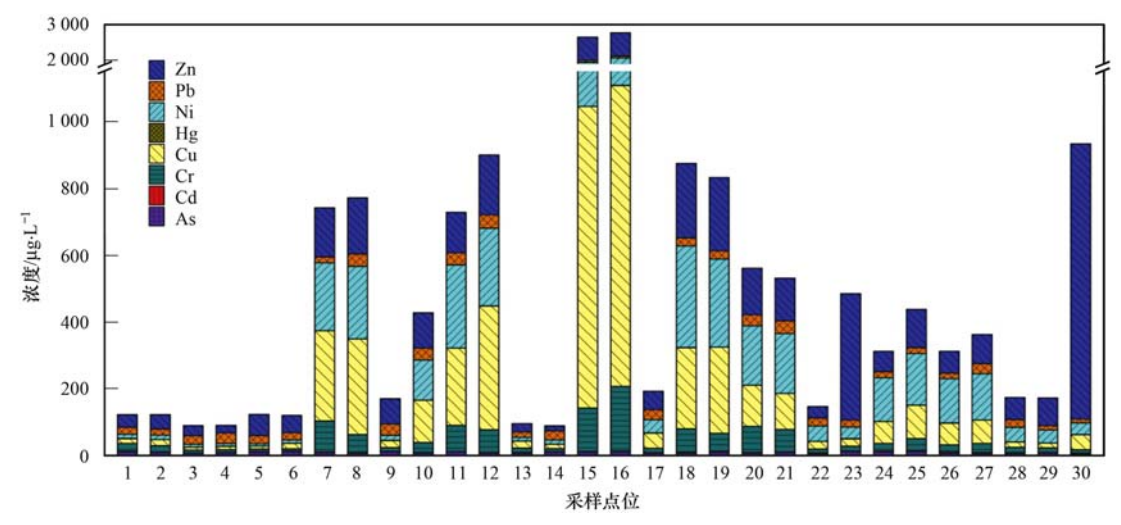


图 2 各采样点重金属四季平均总含量堆积

Fig. 2 Total mean concentrations in four seasons of heavy metals in the sampling sites

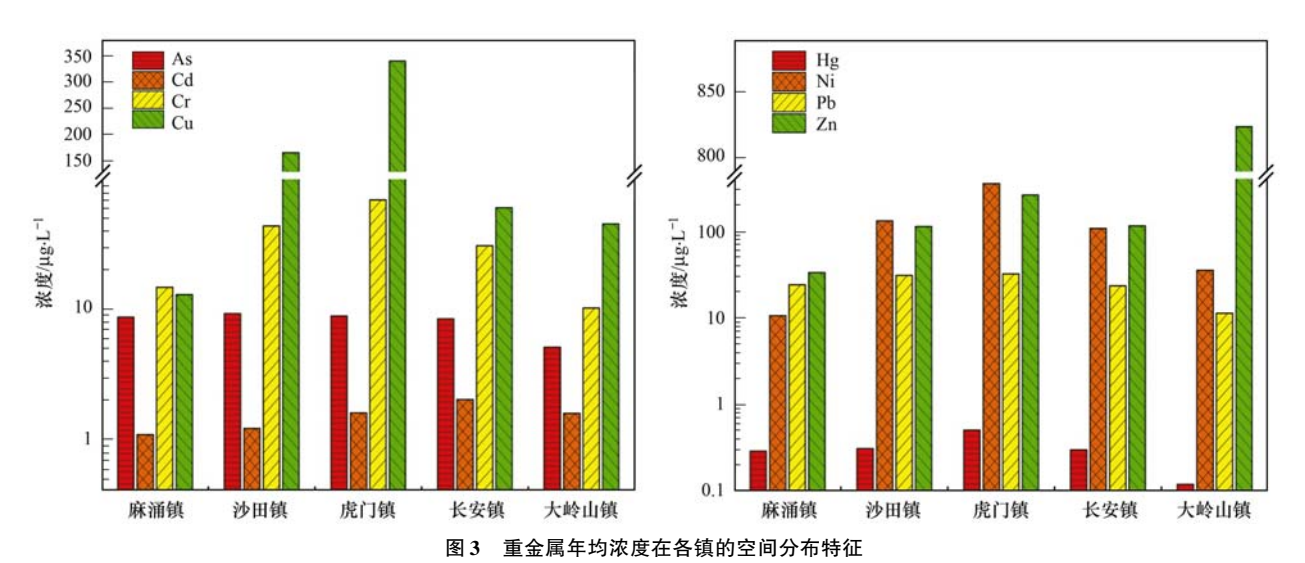


Fig. 3 Spatial distribution characteristics of annual average concentrations of heavy metals in towns

表 4 重金属的相关关系矩阵1)

Table 4 Correlation matrix of the heavy metals

	As	Cd	Cr	Cu	Hg	Ni	Pb	Zn
As	1. 000	0. 033	0. 229	0. 198	0. 082	0. 218	0. 113	0. 001
$\operatorname{Cd}$		1.000	0. 689 **	0. 526 **	0.025	0. 639 **	- 0. 064	0. 659 **
$\operatorname{Cr}$			1.000	0. 921 **	0. 301	0. 928 **	0. 669 **	0. 558 **
Cu				1.000	0. 285	0. 980 **	0. 716 **	0. 653 **
Hg					1.000	0. 280	0. 396 *	0.079
Ni						1.000	0. 693 **	0. 651 **
Pb							1.000	0. 289
Zn								1.000

1)"\*"和"\*\*"分别表示在 0.05 和 0.01 水平(双侧)上显著相关

#### 2.2.2 主成分和聚类分析

通过对监测数据进行检验,得到 KMO 和Bartlett 值分别为 0.737 和 0.00,说明适合对重金属元素进行主成分分析<sup>[31]</sup>.按照因子筛选原则,提取累积方差达 81.548% 的 2 个成分作为主成分(表

5),主成分1占方差51.057%,包括Zn、Ni、Cu、Cr和Cd等重金属,贡献率分别为92.4%、90.7%、85.6%、78.6%和72.5%;主成分2包括Pb和Hg,贡献率分别为98.4%和71.5%,占方差30.491%.将金属元素进行分类,主成分1及主成分2元素各

为一类,而 As 由于适中的矩阵载荷单独为一类.

聚类分析结果(图4)与相关性分析和主成分分析基本一致,将重金属元素分为三类: Cr、Cu、Ni、Cd和 Zn为一类, Hg和 Pb为一类, As单独聚成一类.

#### 表 5 重金属的主成分因子载荷

Table 5  $\,$  Factors matrix of the heavy metals in principal

	component analysis	
元素	主成分1	主成分2
Zn	0. 924	0. 378
Ni	0. 907	0. 456
Cu	0.856	0. 413
$\operatorname{Cr}$	0. 786	0. 440
Cd	0.725	-0.547
Pb	0. 445	0. 984
Hg	-0.592	0.715
As	0.496	0. 321
特征值	4. 347	2. 596
方差/%	51.057	30. 491
累积方差/%	51.057	81. 548

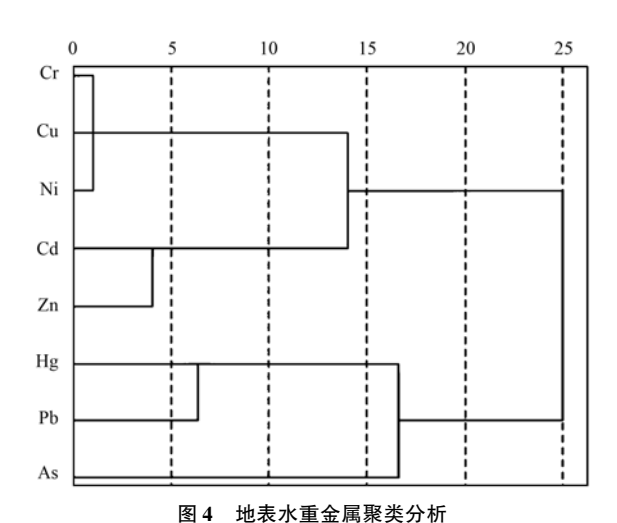


Fig. 4 Clustering tree of the heavy metals in surface water

Cr、Cu、Ni、Zn在7、8、11、12、15、16、18、19号采样点含量较高(图2),主要是上述采样点集中在电镀企业密集的虎门镇和沙田镇,周边分布着28家电镀厂.一般来说,Cd、Cr、Cu、Ni和Zn等重金属是电镀行业特征污染物<sup>[32]</sup>,可认为主成分1中元素主要来源于周边电镀企业.研究区地表水Pb和Hg污染较普遍,尤以虎门镇最为严重,含量较高地方与城市主干道相邻.Pb常被作为机动车污染源标志性元素<sup>[33]</sup>,蔡立梅等<sup>[34]</sup>发现东莞市农田土壤中Pb和Hg污染较显著,在虎门镇存在明显积累现象,Pb来源与公路网密集以及机动车辆急剧增加有关,说明主成分2中元素主要来源于道路交通.As分布特征相比其他元素分布比较均匀(图2、图

3),在采样点和城镇间含量差异相对其他元素较小,其在空间分布上无明显规律,认为 As 与自然源有密切关系,主要受区域地质背景控制.

#### 2.3 电镀厂周边地表水重金属健康风险评价

由地表水重金属经饮水和皮肤接触途径引起的平均个人年健康风险结果可知(表 6),研究区电镀厂周边地表水的金属致癌风险较高,成人和儿童总致癌风险分别在  $3.25 \times 10^{-6} \sim 5.24 \times 10^{-3}$  a  $^{-1}$  和  $6.08 \times 10^{-6} \sim 1.11 \times 10^{-2}$  a  $^{-1}$ . 由致癌性重金属经饮水和皮肤接触途径引起的平均个人年健康风险以Cr最大,As 次之,Cd最小. Cr和 As 平均个人风险值高于国际辐射防护委员会 ICRP (International Commission on Radiological Protection)推荐的最大可接受风险水平  $5.0 \times 10^{-5}$  a  $^{-1}$ ,而 Cd 低于最大可接受风险水平. 重金属经皮肤接触途径引起的致癌风险  $(7.13 \times 10^{-9} \sim 1.33 \times 10^{-5}$  a  $^{-1}$ )小于饮水途径  $(3.24 \times 10^{-6} \sim 1.11 \times 10^{-2}$  a  $^{-1}$ ),与杜维等对长江武汉段水体经饮水、皮肤接触途径造成的健康风险研究结果相似  $^{[35]}$ .

非致癌性重金属经饮水和皮肤接触途径引起的平均个人年健康风险大小表现为 Pb > Ni > Cu > Hg > Zn, 对人体健康危害个人年均风险水平集中在  $10^{-10} \sim 10^{-7} \text{ a}^{-1}$ , 不会对暴露人群构成明显危害. 研究中,成人总非致癌风险( $1.48 \times 10^{-10} \sim 5.90 \times 10^{-8} \text{ a}^{-1}$ )小于儿童总非致癌风险( $2.77 \times 10^{-10} \sim 1.10 \times 10^{-7} \text{ a}^{-1}$ ),说明儿童是比成人更加敏感风险 受体,受到重金属危害更大,此结果与祝慧娜等对湘江长株潭段水环境 Cd、As、Hg、Pb 的健康风险研究结果一致[11].

重金属经饮水途径引起的平均个人年健康风险 (1.48×10<sup>-10</sup>~1.11×10<sup>-2</sup>) 比皮肤接触途径(3.27×10<sup>-13</sup>~1.33×10<sup>-5</sup>)大2~3个数量级,表明饮水是主要暴露途径.就风险水平而言,非致癌性重金属风险水平比致癌性重金属小4~5个数量级,与王若师等学者研究结果一致<sup>[6]</sup>.因此,地区地表水环境金属健康风险主要来自致癌性重金属,Cr和As应作为风险决策管理重点.

各个镇健康总风险大小顺序为虎门镇 > 沙田镇 > 长安镇 > 麻涌镇 > 大岭山镇,风险值均高于最大可接受风险水平,其中虎门镇、沙田镇总风险较高可能与区域密集电镀企业向地表水环境中排放了 Cd、Cr、Cu、Ni 和 Zn 等重金属有关. 大岭山镇地表水重金属年均浓度仅低于虎门镇(图 3),其中 Zn 含量远高于其他区域, Cr、As 含量低于其他区域,大

悪 6	地表水重金属经饮水和皮肤接触途径引起的平均个	人在健康风险/。

Table 6	Average personal annual health	ricks assed by the heav	metals via drinking and dermal	contact pathways in surface water/a -1
rabie 0	Average personal annual health	risks caused by the neav	v metais via drinking and dermai	contact pathways in surface water/ a

1 #14	14·1=	As		C	Cd		Cr		Cu	
八杆	地点	饮水	皮肤	饮水	皮肤	饮水	皮肤	饮水	皮肤	=
	麻涌镇	2. 98E-04	3.66E-07	5. 55E-06	6. 81E-09	1. 36E-03	1. 67E-06	6. 48E-10	2. 98E-12	
	沙田镇	7. 23E-04	8.87E-07	1.52E-05	1.87E-08	7.75E-03	9. 33E-06	1.89E-08	8. 72E-11	
	虎门镇	5. 31E-04	6.51E-07	3.90E-05	4. 79E-08	1.02E-02	1. 22E-05	3.40E-08	1.56E-10	
儿童	长安镇	6. 35E-04	7. 78E-07	7.06E-05	8.67E-08	6. 95E-03	8. 45E-06	8. 68E-09	3. 98E-11	
	大岭山镇	4. 38E-05	5. 37E-08	3.41E-05	4. 19E-08	2.38E-04	2. 92E-07	7. 42E-10	3. 40E-12	
	各元素平均风险	4. 46E-04	5.47E-07	3. 29E-05	4. 04E-08	5. 29E-03	6. 38E-06	1. 26E-08	5. 79E-11	
	麻涌镇	1. 59E-04	3.51E-07	2.97E-06	6. 53E-09	7. 36E-04	1. 60E-06	4. 42E-10	2. 87E-12	
	沙田镇	3.86E-04	8. 50E-07	8. 14E-06	1. 79E-08	4. 26E-03	9. 01 E-06	1. 30E-08	8. 43E-11	
	虎门镇	2. 51E-04	5.51E-07	2.72E-05	3.96E-08	4.87E-03	9.88E-06	2. 08E-08	1.36E-10	
成人	长安镇	3.40E-04	7.48E-07	3.77E-05	8. 29E-08	3.78E-03	8.11E-06	5. 92E-09	3.85E-11	
	大岭山镇	2. 34E-05	5. 15E-08	1.82E-05	3. 09E-08	1. 28E-04	2. 80E-07	5.07E-10	3. 29E-12	
	各元素平均风险	2. 32E-04	5. 10E-07	1.88E-05	3.56E-08	2.75E-03	5. 78E-06	8. 14E-09	5. 29E-11	
人事关	詳 地点	H	Ig		Ni	I	Pb		Zn	
八怔		饮水	皮肤	饮水	皮肤	饮水	皮肤	饮水	皮肤	- 各镇总风险
	麻涌镇	2. 22E-09	1.02E-11	1.01E-09	4. 63E-12	9. 24E-08	4. 25E-10	2. 53E-10	1. 17E-12	1. 67E-03
	沙田镇	4. 77E-09	2. 19E-11	3.07E-08	1.41E-10	9.61E-08	4. 39E-10	1.73E-09	7. 96E-12	8. 50E-03
儿童	虎门镇	6. 76E-09	3. 11E-11	7. 12E-08	3. 27E-10	1.01E-07	4. 63E-10	3. 50E-09	1.61E-11	1.07E-02
	长安镇	5. 68E-09	2. 61E-11	3.01E-08	1.38E-10	9. 15E-08	4. 22E-10	2. 20E-09	1.01E-11	7. 66E-03
	大岭山镇	2. 23E-10	1.03E-12	1. 21E-09	5. 56E-12	4. 63E-09	2. 13E-11	1.56E-08	7. 21E-11	3. 16E-04
	各元素平均风险	3. 93E-09	1.81E-11	2.69E-08	1. 23E-10	7.71E-08	3. 54E-10	4. 66E-09	2. 15E-11	
	麻涌镇	1. 52E-09	9. 88E-12	6. 90E-10	4. 47E-12	5. 69E-08	3. 76E-10	1.73E-10	1. 13E-12	9. 00E-04
	沙田镇	3. 25E-09	2. 11E-11	2.09E-08	1. 36E-10	6. 55E-08	4. 27E-10	1. 18E-09	7. 67E-12	4. 66E-03
	虎门镇	3.88E-09	2. 52E-11	4. 26E-08	2.77E-10	6.89E-08	4. 47E-10	2. 09E-09	1. 36E-11	5. 16E-03
成人	长安镇	3.71E-09	2.41E-11	2.06E-08	1.34E-10	5. 58E-08	3. 61E-10	1.50E-09	9. 74E-12	4. 17E-03
	大岭山镇	1.53E-10	9. 91E-13	8. 25E-10	5. 37E-12	3. 16E-09	2. 05E-11	1.07E-08	6. 95E-11	1.70E-04
	各元素平均风险	2. 50E-09	1.63E-11	1.71E-08	1.11E-10	5.01E-08	3. 26E-10	3. 13E-09	2. 03E-11	

岭山镇健康总风险最小可能与 Zn 具有较低毒性参考剂量和 Cr、As 具有较大致癌强度系数有关.

#### 3 结论

- (1)依据《地表水环境质量》(GB 3838-2002)Ⅲ 类标准,研究区电镀厂周边地表水重金属 Cr、Hg、 Pb 浓度均有超标现象,其中 Cr、Pb 最大值和 Hg 平 均值超过标准限值,而 As、Cd、Cu 和 Zn 均未超标. 从季节变化看,Cr、Cu、Hg、Ni、Zn 和 Pb 含量均呈 现出雨季高于旱季.
- (2)空间分布表明,地表水中 Cu、Ni、Zn 变化幅度较大,贡献率远高于其他元素,平均贡献率最大是 Zn (31.76%),其次为 Ni (23.40%)和 Cu (20.40%). Cr、Cu、Hg、Ni、Pb 含量分布规律较相似,高含量区主要位于虎门镇和沙田镇.
- (3)多元统计分析表明,研究区地表水 Cd、Cr、Cu、Ni 和 Zn 主要来源于周边电镀企业污染,Pb 和 Hg 受交通污染源影响较大,As 受人为活动干扰较轻,与自然源有密切关系.
  - (4)健康风险评价表明,电镀厂周边地表水重

金属的健康风险大小依次为 Cr > As > Cd > Pb > Ni > Cu > Hg > Zn, 儿童比成人更容易受到重金属污染威胁, 经饮水途径暴露健康风险比皮肤接触途径大2~3个数量级. 致癌性重金属 Cr 和 As 平均个人风险值高于 ICRP 推荐最大可接受风险水平, 而 Cd 低于最大可接受风险水平; 非致癌性重金属对人体健康危害风险水平集中在  $10^{-10} \sim 10^{-7}$  a<sup>-1</sup>, 比致癌性重金属的风险水平小4~5个数量级. Cr 和 As 应作为风险决策管理优先控制对象.

#### 参考文献:

- [1] Du Y Y, Ge Y, Lakhan V C, et al. Comparison between CBR and CA methods for estimating land use change in Dongguan, China[J]. Journal of Geographical Sciencesl, 2012, 22 (4): 716-736.
- [2] Liu T Y, Yang X, Wang Z L, et al. Enhanced chitosan beads-supported Fe<sup>0</sup>-nanoparticles for removal of heavy metals from electroplating wastewater in permeable reactive barriers [J]. Water Research, 2013, 47(17): 6691-6700.
- [3] Sun Z G, Mou X J, Tong C, et al. Spatial variations and bioaccumulation of heavy metals in intertidal zone of the Yellow River estuary, China[J]. Catena, 2015, 126: 43-52.
- [4] Muhammad S, Shah M T, Khan S. Health risk assessment of heavy metals and their source apportionment in drinking water of

- Kohistan region, northern Pakistan[J]. Microchemical Journal, 2011, **98**(2): 334-343.
- [5] Giri S, Singh A K. Risk assessment, statistical source identification and seasonal fluctuation of dissolved metals in the Subarnarekha River, India[J]. Journal of Hazardous Materials, 2014, 265: 305-314.
- [6] 王若师, 许秋瑾, 张娴, 等. 东江流域典型乡镇饮用水源地重金属污染健康风险评价[J]. 环境科学, 2012, **33**(9): 3083-3088.
  - Wang R S, Xu Q J, Zhang X, et al. Health risk assessment of heavy metals in typical township water sources in Dongjiang River Basin[J]. Environmental Science, 2012, 33(9): 3083-3088.
- [7] 李祥平,齐剑英,陈永亨.广州市主要饮用水源中重金属健康风险的初步评价[J].环境科学学报,2011,**31**(3):547-553.
  - Li X P, Qi J Y, Chen Y H. Preliminary health risk assessment of heavy metals in the main drinking water sources of Guangzhou [J]. Acta Scientiae Circumstantiae, 2011, 31(3): 547-553.
- [8] Achary M S, Panigrahi S, Satpathy K K, et al. Health risk assessment and seasonal distribution of dissolved trace metals in surface waters of Kalpakkam, southwest coast of Bay of Bengal [J]. Regional Studies in Marine Science, 2016, 6; 96-108.
- [9] 周荣喜, 范福云, 杨晓进. 基于多属性决策方法的饮用水健康风险全面评价[J]. 环境科学与管理, 2011, **36**(3): 158-162
  - Zhou R X, Fan F Y, Yang X J. Comprehensive assessment of health risk to drinking and using water based on multi-attribute decision making [J]. Environmental Science and Management, 2011, 36(3): 158-162.
- [10] 陈耀宁,智国铮,袁兴中,等. 基于三角随机模拟和 AreGIS 的河流水环境健康风险评价模型[J]. 环境工程学报,2016, **10**(4):1799-1806.
  - Chen Y N, Zhi G Z, Yuan X Z, et al. Assessment model of water environmental health risk based on stochastic simulation-triangular fuzzy numbers and ArcGIS [J]. Chinese Journal of Environmental Engineering, 2016, 10(4): 1799-1806.
- [11] 祝慧娜, 袁兴中, 曾光明, 等. 基于区间数的河流水环境健康风险模糊综合评价模型[J]. 环境科学学报, 2009, **29** (7): 1527-1533.
  - Zhu H N, Yuan X Z, Zeng G M, *et al.* An integrated fuzzy model based on interval numbers for assessment of environmental health risks of water sources[J]. Acta Scientiae Circumstantiae, 2009, **29**(7): 1527-1533.
- [12] Hang X S, Wang H Y, Zhou J M, et al. Characteristics and accumulation of heavy metals in sediments originated from an electroplating plant[J]. Journal of Hazardous Materials, 2009, 163(2-3): 922-930.
- [13] 郭鹏然,雷永乾,周巧丽,等.电镀厂周边环境中重金属分布特征及人体健康暴露风险评价[J].环境科学,2015,36 (9):3447-3456.
  - Guo P R, Lei Y Q, Zhou Q L, *et al.* Distribution characteristics of heavy metals in environmental samples around electroplating factories and the health risk assessment [J]. Environmental Science, 2015, **36**(9): 3447-3456.
- [14] 陈志良, 赵述华, 周建民, 等. 典型电镀污染场地重金属污染特征与生态风险评价[J]. 环境污染与防治, 2013, **35** (10): 1-4, 11.

- Chen Z L, Zhao S H, Zhou J M, et al. Pollution characteristics and ecological risk assessment of heavy metals in contaminated site of a typical electroplating factory [ J ]. Environmental Pollution and Control, 2013, 35(10): 1-4, 11.
- [15] 厉炯慧, 翁珊, 方婧, 等. 浙江海宁电镀工业园区周边土壤重金属污染特征及生态风险分析[J]. 环境科学, 2014, 35 (4): 1509-1515.
  Li J H, Weng S, Fang J, et al. Heavy metal pollution characteristics and ecological risk analysis for soil around Haining electroplating industrial park[J]. Environmental Science, 2014,
- [16] Liu J, Zhang X H, Tran H, et al. Heavy metal contamination and risk assessment in water, paddy soil, and rice around an electroplating plant [J]. Environmental Science and Pollution Research, 2011, 18(9): 1623-1632.

**35**(4): 1509-1515.

- [17] 高磊, 陈建耀, 王江, 等. 东莞石马河流域水化学特征时空差异及来源辨析[J]. 环境科学, 2015, **36**(5): 1573-1581. Gao L, Chen J Y, Wang J, et al. Temporal-spatial variation and source identification of hydro-chemical characteristics in Shima River Catchment, Dongguan City[J]. Environmental Science, 2015, **36**(5): 1573-1581.
- [18] US EPA. Risk assessment guidance for superfund: volume I; human health evaluation manual. Supplemental guidance. "Standard default exposure factors" interim final [R]. Washington: US EPA, 1991.
- [19] US EPA. Guidelines for exposure assessment [R]. Washington DC: US EPA, 1992. 186.
- [20] US EPA. Child-specific exposure factors handbook [R]. EPA/600/R-06/096F. Washington DC: US EPA, 2008.
- [21] 环境保护部. 中国人群暴露参数手册(成人卷)[M]. 北京:中国环境科学出版社, 2013. 90-780.

  Ministry of Environmental Protection. Exposure factors handbook of Chinese population (adult volume)[M]. Beijing: China Environmental Press, 2013. 90-780.
- [22] GB 3838-2002 地表水环境质量标准[S].
  GB3838-2002 Environmental Quality Standards for Surface Water
- [23] Zhao Q H, Liu S L, Deng L, et al. Spatio-temporal variation of heavy metals in fresh water after dam construction; a case study of the Manwan Reservoir, Lancang River [J]. Environmental Monitoring and Assessment, 2012, 184(7); 4253-4266.
- [24] Wu B, Zhao D Y, Jia H Y, et al. Preliminary risk assessment of trace metal pollution in surface water from Yangtze River in Nanjing Section, China [J]. Bulletin of Environmental Contamination and Toxicology, 2009, 82(4): 405-409.
- [25] Zeng X X, Liu Y G, You S H, et al. Spatial distribution, health risk assessment and statistical source identification of the trace elements in surface water from the Xiangjiang River, China[J]. Environmental Science and Pollution Research, 2015, 22 (12): 9400-9412.
- [26] Carafa R, Faggiano L, Real M, et al. Water toxicity assessment and spatial pollution patterns identification in a Mediterranean River Basin District. Tools for water management and risk analysis [J]. Science of the Total Environment, 2011, 409 (20): 4269-4279.
- [27] Alves R I S, Sampaio C F, Nadal M, et al. Metal concentrations in surface water and sediments from Pardo River, Brazil; human

- health risks [J]. Environmental Research, 2014, 133: 149-155
- [28] Kohušová K, Havel L, Vlasák P, et al. A long-term survey of heavy metals and specific organic compounds in biofilms, sediments, and surface water in a heavily affected river in the Czech Republic[J]. Environmental Monitoring and Assessment, 2011, 174(1-4): 555-572.
- [29] Varol M, Şen B. Assessment of nutrient and heavy metal contamination in surface water and sediments of the upper Tigris River, Turkey[J]. Catena, 2012, 92: 1-10.
- [30] 杭小帅, 王火焰, 周健民. 电镀厂下游水体中重金属的分布特征及其风险评价[J]. 环境科学, 2008, **29**(10): 2736-2742.

  Hang X S, Wang H Y, Zhou J M. Heavy metals distribution
  - characteristics and risk assessment of water below an electroplating factory [J]. Environmental Science, 2008, 29 (10): 2736-2742.
- [31] Varol M. Assessment of heavy metal contamination in sediments of the Tigris River (Turkey) using pollution indices and multivariate statistical techniques [J]. Journal of Hazardous Materials, 2011, 195: 355-364.

- [32] Martín-Lara M A, Blúzquez G, Trujillo M C, et al. New treatment of real electroplating wastewater containing heavy metal ions by adsorption onto olive stone [J]. Journal of Cleaner Production, 2014, 81: 120-129.
- [33] 袁宏林,李星宇,王晓昌. 西安市雨水径流中重金属季节性 污染特征及分析[J]. 环境科学,2014,35(11):4143-4147. Yuan H L, Li X Y, Wang X C. Heavy metals pollution and
  - Yuan H L, Li X Y, Wang X C. Heavy metals pollution and analysis of seasonal variation runoff in Xi'an[J]. Environmental Science, 2014, 35(11): 4143-4147.
- [34] 蔡立梅, 马瑾, 周永章, 等. 东莞市农田土壤和蔬菜重金属的含量特征分析[J]. 地理学报, 2008, **63**(9): 994-1003.

  Cai L M, Ma J, Zhou Y Z, *et al.* Heavy metal concentrations of agricultural soils and vegetables from Dongguan, Guangdong Province, China[J]. Acta Geographica Sinica, 2008, **63**(9): 994-1003.
- [35] 杜维,李爱民,鲁敏,等. 长江武汉段水质重金属健康风险初步评价[J]. 环境科学与技术, 2014, 37(S2): 535-539. Du W, Li A M, Lu M, et al. Preliminary health risk assessment of heavy metals in the Yangtze River of Wuhan Area [J]. Environmental Science & Technology, 2014, 37(S2): 535-539.

# **HUANJING KEXUE**

Environmental Science (monthly)

Vol. 38 No. 3 Mar. 15, 2017

## **CONTENTS**

Reactivity-based Anthropogenic VOCs Emission Inventory in China LIAN	
Characteristics of Reactive VOCs Species During High Haze-Pollution Events in Suburban Area of Shanghai in Winter	
Assessment of $PM_{2.5}$ Pollution Mitigation due to Emission Reduction from Main Emission Sources in the Bejing-Tianjin-Hebei Region $\cdot\cdot$	WU Wen-jing, CHANG Xing, XING Jia, et al. (867)
Concentration Characteristics and Sources of Trace Metals in PM <sub>2,5</sub> During Wintertime in Beijing	
Online Source Analysis of Particulate Matter ( $PM_{2.5}$ ) in a Heavy Pollution Process of Shijiazhuang City During Heating Period in 2015 Analysis of Chemical Composition and Pollution Source of the Fine Particulate Matter by the SPAMS in the Four Seasons in Nanning $\cdots$	
	LIU Hui-lin, CHEN Zhi-ming, MAO Jing-ying, et al. (894)
Physico-chemical Characteristics of Individual Aerosol Particles in Marine Atmosphere on South Hemisphere	···· CHI Jian-wei, LI Chuan-jin, SUN Jun-ying, et al. (903)
Characteristics of Spatial Distribution of Bacterial Aerosols Produced by Fountain	IANG Chong-miao, YUAN Lin, XU Peng-cheng, et al. (911)
Removal of Volatile Sulfur Odor by the Biotrickling Filter	····· YE Jie-xu, MIAO Xiao-ping, ZHUGE Lei, et al. (918)
Magnetic Characteristics and Environmental Pollution Analysis of Street Dust in Different Functional Zones of Xi'an City	······· FANG Ni, ZHANG Jun-hui, WANG Jin, et al. (924)
Pollution Characteristics and Nitrification and Denitrification Potential of Superficial Sediments from Streams in an Urban-Rural Fringe	······ QIN Ru-bin, LI Ru-zhong, GAO Su-di, et al. (936)
Nitrification and Denitrification Rates in a Small Tributary, Nanhe River, of Three Gorge Dam Reservoir During Water Collection and R	elease Events
Tempo-spatial Variations and Influential Factors of Carbon Dioxide Emissions from the Geheyan Reservoir over the Qingjiang River Basin	, China ·····
Seasonal Pollution Characteristics and Source Identification of Polycyclic Aromatic Hydrocarbons and Organochlorine Pesticides in Surface	e Water of Baiyangdian Lake ·····
Distributions, Sources and Pollution Assessment of Hg in Sediment of Douhe Reservoir in Tangshan City	
Release Characteristics of Mercury from Submersed Typical Herbaceous Plants in the Water-Level Fluctuation Zone of the Three Gorges	Reservoir Area
Distribution Characteristics and Health Risk Assessment of Heavy Metals in Surface Water Around Electroplating Factories	
Speciation and Ecological Risk of Heavy Metals in Surface Sediments from Jiulong River	
Fractionation and Contamination Assessment of Metal Elements in the Surface Sediments of Yundang Lagoon in Xiamen	
Source Analysis, Spatial Distribution and Pollution Assessment of Heavy Metals in Sewage Irrigation Area Farmland Soils of Longkou Cit	····· LI Chun-fang, WANG Fei, CAO Wen-tao, et al. (1018)
Efficiency and Mechanism of Purifying High Iron-Manganese from Ground Water in the Cold Villages and Towns Based on The Coupling	of Rice Husk and Iron-Manganese Oxidizing Bacteria
Ellicitics and sections of Fullying Tight for stangement from County water in the County mages and County based on the Coupling	
Peroxidation of High Algae-laden Water by Ozone; Algae Organic Matter Transformation and Disinfection By-products Formation	
Effects of Pretreatment on Hydraulic Irreversible Membrane Fouling During Ultrafiltration Short Process: A Pilot Study	·· YANG Hai-yan, XING Jia-jian, WANG Can, et al. (1046)
Fenton-like Catalytic Removal of Organic Pollutants in Water by Framework Cu in Cu-Al <sub>2</sub> O <sub>3</sub>	
Oxidation Destruction of Cu(CN)3 by Persulfate	· WANG Yun-fei, LI Yi-bing, WANG Yan-bin, et al. (1061)
Enhanced Removal of Herbicide 2,4-dichlorophenoxyacetic Acid and Simultaneous Power Generation in Microbial Fuel Cells	· QUAN Xiang-chun, QUAN Yan-ping, XIAO Zhu-tian (1067)
Adsorption Characteristics of Copper in Water by the Porous Biomorph-Genetic Composite of HAP/C with Eucalyptus Wood Template ···	LI Chao, ZHU Zong-qiang, CAO Shuang, et al. (1074)
Biological Toxicity Evaluation of Domestic Wastewater Based on A <sup>2</sup> /O Treatment Processes Using a Battery of Bioassays	ANG Qiu-ya, MA Xiao-yan, WANG Xiao-chang, et al. (1084)
Effect of Wastewater Nitrogen Concentrations on Nitrogen Removal Ability of Myriophyllum aquaticum	MA Yong-fei, YANG Xiao-zhen, ZHAO Xiao-hu, et al. (1093)
Recovery Performance of ANAMMOX Process after Inhibition Resulting from Seawater	······ QI Pan-qing, YU De-shuang, LI Jin, et al. (1102)
Impact of Starvation Conditions on Biological Community Structure in Sulfur Autotrophic Denitrification Reactor	LI Fang-fang ,SHI Chun-hong ,LI Hai-bo ,et al. (1109)
Quick Start-up of Anaerobic Ammonium Oxidation Process	····· LÜ Gang, XU Le-zhong, SHEN Yao-liang, et al. (1116)
A New Model for the Treatment of Low Ammonia Nitrogen Wastewater by CANON Process	
Effects of Side-stream Phosphorus Recovery on the Performance of EBPR System Under Low Dissolved Oxygen Condition	
Identification and Influence of Quorum Sensing on Anaerobic Ammonium Oxidation Process	
Effects of Organic Loading Rate on Startup Performance of Anaerobic Digestion with Vinegar Residues	DAI Xiao-hu, YU Chun-xiao, LI Ning, et al. (1144)
Influencing Mechanism of Calcium Peroxide Pre-treatment on Dewatering Performance of Waste Activated Sludge	
Treatment Effects of Earthworm Constructed Wetlands in Different Working Conditions	
Effect of PFOA on Oxidative Stress and Membrane Damage of Escherichia coli	
Physicochemical Properties and Antibacterial Effect of Silver Nanoparticles; A Comparison of Environmental and Laboratorial Conditions	
Pollution Characteristics of Chlorobenzenes in Organs of Fish from Typical Epidemic Areas of Schistosomiasis Prevalence	
Effect of Nano Zeolite on Growth, Activity of Antioxidant Enzyme, and Chemical Fractions and Concentration of Cd in Chinese Cabbage	
Effect of Different Iron Minerals on Bioaccessibility of Soil Arsenic Using in vitro Methods	
Enhanced Electrokinetic Remediation of Heavy Metals Contaminated Soils by Stainless Steel Electrodes as well as the Phenomenon and	Mechanism of Electrode Corrosion and Crystallization
, , , , , , , , , , , , , , , , , , , ,	
Influence of the Application of Non-Hazardous Sewage Sludge on the Evolution of Soil Carbon Pool and Carbon Pool Management Index	
Input and Distribution of Photosynthesized Carbon in Soil-Rice System Affected by Water Management and Nitrogen Fertilization	
Effects of Simulated Acid Rain on Soil Respiration and Heterotrophic Respiration in a Secondary Forest	
Response of Soil Nitrifier and Denitrifier Community and Activity to Elevated Atmospheric CO2 Concentration and Temperature	
Effects of Lithology on the Abundance and Composition of Soil Nitrogen-fixing Bacteria and Arbuscular Mycorrhizal Fungal Communities	in Karst Shrub Ecosystem
Characterization of Phosphorus Forms in Organic Composts and Their Effects on Leaf Phosphorus Content of Castanea mollissima in Chin	ese Chestnut Producing Area ·····
	SONG Ying, GUO Su-juan, ZHANG Li, et al. (1262)
Effects of Acidic Materials on the N Transformations During the Composting of Pig Manure and Wheat Straw	